

# 海浪理论

B. B. 舒列金院士著

科学出版社

海 浪 理 論

B. B. 舒列金院士著  
管 秉 賢 譯

科 學 出 版 社  
1957年8月

## 內 容 提 要

本書包括苏联科学院舒列金院士先后發表的九篇關於海浪理論的論文。這些論文涉及海浪運動學和動力學方面的一部分基本問題。有鑑於這些論文對海浪理論的研究有很大的意義，所以特將它們譯出，集成此書，以供參考。

## 海 浪 理 論

[蘇] B.B. 舒列金院士著

管 乘 賢 譯

\*

科學出版社出版 (北京朝陽門大街117號)

北京市書刊出版業營業許可證字第 061 号

北京新华印刷厂印刷 新华书店總經售

\*

1957年5月第一版

書名：0860 字數：85,000

1957年6月第一次印刷

印本：850×1168 1/32

(京)0001-880

印張：3 9/16 頁頁：1

定價：(11)0.80元

## 本書簡介

本書包括苏联科学院 V. B. Шулейкин 院士自 1953 年至 1955 年先后在苏联科学院报告(Доклады Академии Наук СССР)及苏联科学院彙报, 地球物理学叢刊 (Известия Академии Наук СССР, серия геофизическая) 上所發表的九篇海浪論文的譯文。其中有七篇譯自苏联科学院报告, 余兩篇譯自地球物理学叢刊。在这时期內, Шулейкин 院士發表在苏联科学院报告上的海浪論文不止七篇, 因为其余几篇的內容已包含於后来在地球物理学叢刊上所發表的兩篇論文中, 故不再譯述。所以, 这九篇譯文可以說代表了 Шулейкин 院士在这一时期內对海浪問題的看法。

这九篇論文涉及到一部分海浪的运动学、动力学等方面的基本問題。这些問題是根据自然界的, 尤其是“風暴水池”的波浪觀測提出的, 通过苏联海洋学家們的辛勤劳动, 都在不同程度上得到了解决或闡明。

在运动学方面: 根据觀測提出了表征風浪輪廓的参数方程式; 又从連續性条件出發, 根据波流速度以及漂流速度的变化, 描出了水面質点的真实軌跡, 从而闡明了波頂变尖及破裂的原因。又提出了波浪的相速視水平面振动的位相而定的假設, 借此闡明了波浪因淺水而破裂的原因。

在动力学方面, 在本書中佔有最大篇幅的“風浪及湧浪的动力学”一文是本書最重要的著作。其中, 根据水質点能量增加的內結構, 提出了風浪波高增加的理論; 並將动量矩的概念应用到作波浪运动的水質点上, 因而發現了風浪波長增加的原因及其規律。同时也闡明了有关稳定湧浪的来源以及湧浪遇到逆風时的一些問題。

作者又將上述各方面的成果用來研究風浪在深海上及淺海上的發展，以及出了風區之後湧浪在深海上的傳播諸問題。這方面的研究，對於海浪預報，顯然是很有意義的。

這幾篇論文中所述的理論研究，Шулейкин 院士又用深入淺出的文筆，以“海浪的現代理論”為篇名，介紹在 1955 年 10 月號的“自然”(Природа)上。

譯者 1956 年 9 月於青島

## 目 录

本書簡介.....	I
風浪的輪廓及其主要的参数.....	1
波頂尖銳的物理原因.....	7
極陡波浪的运动学.....	14
波浪在淺水影响下的破裂.....	21
風浪及湧浪的动力學.....	38
波浪在深海上自向風岸至背風岸的發展.....	85
湧浪出了風区后在深海上的傳播.....	92
風浪在淺海上的發展.....	99
淺海上的風浪場方程式.....	105

## 風浪的輪廓及其主要的參數

許多研究工作者曾对海浪拍攝了立体照片,从这些照片中早就發現風浪輪廓与摆綫有显著的差異,因为風浪輪廓的波頂比高度相当的摆綫的頂点要陡些,而波谷要平坦些。我們在風暴水池中对波浪进行的普通攝影与电影攝影,不但可以供我們詳細而确切地研究波浪的輪廓,并且还可以从此發現它的全部演变过程。我們找出了曲綫族的普遍方程式,不但可以將觀察到的風浪輪廓归屬到这一曲綫族內;即使表征湧浪輪廓的摆綫也可以作为这一曲綫族的特殊形式而归屬於这一曲綫族內。

假定風浪的波高为  $h$ , 波長为  $\lambda$ 。坐标系統的  $X$  軸为通过波高中点而指向波浪运动方向的直綫,  $Y$  軸垂直向上,並認為波浪运动是兩度的(平面問題)。

大家都知道可以用这样的兩個参数方程式来表示摆綫,其中包含有母圓的半徑  $r_0 = \frac{1}{2} h$  以及滚动圓的半徑  $R$  和作为時間函数的角  $\theta$ , 而且  $R = \frac{\lambda}{2\pi}$ 。因此,上述曲綫族的普遍方程式也可以以类似於摆綫参数方程式的形式而写为:

$$x = R\theta + a \sin \theta, \quad y = b \cos \theta. \quad (1)$$

在上式中,  $R$  仍然保持它原来以  $\lambda$  表示的形式,但在第一个方程式中引入新参数  $a$ , 在第二个方程式中引入  $b$  以代  $r_0$ 。

如参数  $a$  和  $b$  是已知的話,那就很容易根据方程式(1)繪出風浪輪廓:画一个以  $a$  (長軸——橫軸)及  $b$  (短軸——豎軸)为半軸的椭圓,在这椭圓上表出与各  $\theta$  值相当的点,使椭圓的中心沿  $X$  軸移动一段等於  $R\theta$  的距离,在固定的紙上記下随着椭圓而运动的点的各个对应位置。我們即可看出:当参数  $a$  和  $b$  的数值选得

正确时,所得到的曲綫將表示与这些参数相当的風浪的典型輪廓。

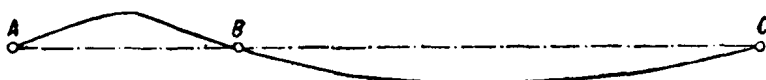


圖 1

第一圖所示的是我們在水池實驗中用攝影機攝得的波浪輪廓之一。在这圖中,波峯在  $X$  軸上所截出的  $AB$  段要比波谷所截出的  $BC$  段短得多。根据描繪輪廓的方法,頗易證明:

$$AB = \frac{\lambda}{2} - 2a; \quad BC = \frac{\lambda}{2} + 2a.$$

我們用  $\alpha$  表示  $AB$  与  $BC$  之比。在这种場合下,当我们知道了  $\alpha$ 、波高  $h$  及波長  $\lambda$  以后,就可根据攝出的輪廓而确定出兩個参数  $a$  及  $b$ ,即:

$$a = \frac{1-\alpha}{1+\alpha} \cdot \frac{\lambda}{4}; \quad b = \frac{h}{2}. \quad (2)$$

根据公式(2)确定出兩個参数並用上述描繪法作出一組輪廓以后,我們發現这些輪廓与某一段影片所照出的輪廓是十分一致的。奇怪的是,我們所提出的这些参数甚至可以用来表征当年 Mitchell 所描述的“極陡”波浪,当然,仅是近似的。測量这种波浪的結果得出:

$$\alpha = 0.38; \quad \frac{a}{\lambda} = 0.112; \quad \frac{b}{\lambda} = 0.0715.$$

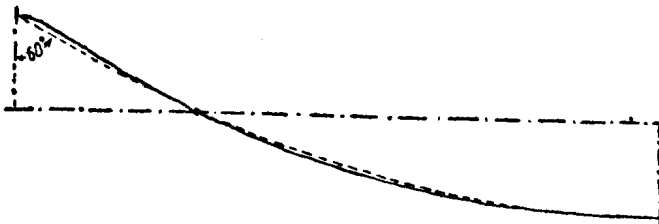


圖 2

在第二圖中我們用虛線描出了“極陡”波浪的輪廓，實線是根據我們的作圖法所描出的輪廓。从這張圖中可以看到，僅僅在波頂附近略有一些出入。

方程式(1)使我們有可能在這輪廓中求出坡面陡度達到極大值的各點，在這些點上， $y$ 對於 $x$ 的第二次微商為零。簡單的計算指出：在這些點上，波浪輪廓的切線與縱軸構成某一角度 $\gamma_0$ ，它可由下列關係式確定之：

$$\operatorname{tg} \gamma_0 = \sqrt{\left(\frac{R}{b}\right)^2 - \left(\frac{a}{b}\right)^2}. \quad (3)$$

直接對影片進行測量的結果也能很好地証實這個關係式。從這個關係式得出的“極陡”波浪的 $\gamma_0$ 與由十分著名的定理中得出的相差甚小。這就是說：從公式(3)可以証明，在這種情況下 $\gamma_0 = 58^\circ$ ，即實線的波頂角(圖2)為 $2\gamma_0 = 116^\circ$ 。大家都知道，實際上，“極陡”波浪的波頂角為 $120^\circ$ 。這兩個數值只相差 $3\%$ 。這是由於曲線具有上述差異所引起的。

測出了照片上的綫段 $AB$ 和 $BC$ 並算出了 $\eta$ 以後，就可以用這樣的方法定出波浪輪廓。要根據 $a$ 、 $b$ 之間所存在的差異來研究特性數值 $\alpha$ 在曲綫族範圍內所起的變化，同樣也並不困難。其實，如用 $n$ 表示 $\frac{b}{a}$ ，並用 $N$ 表 $\frac{\lambda}{h}$ ，那末將(2)式經過簡單的變換以後，就可以得出下列公式：

$$\alpha = \frac{Nn-2}{Nn+2}. \quad (4)$$

這個關係式可用来判斷輪廓屬於上述曲綫族的這類波浪的“波頂尖銳”度。其中，當 $n=1$ 時，從公式(4)就可以得出擺綫的 $\eta$ 值。在極限情況下，即當 $N \rightarrow \infty$ 時， $\eta$ 就趨向於1。正弦波的情形正應該這樣，因為正弦波的 $h$ 與 $\lambda$ 之比為無窮小。我們不應該忘記：具有半軸為 $a$ 和 $b$ 的橢圓，只被我們用來作為描繪風浪輪廓的工具，因為它與波面上任一個水質點的軌跡，沒有絲毫共通之

點。我們在水池上的觀測證明，波浪上水質點的軌跡本身確由質點的兩種運動所合成：即由於風海流\*的存在所引起的前進運動以及沿着几乎是圓形軌道進行的運動。只有當水層深度對波長之比很小時，質點的運動軌道才不是圓形。我們假定水面質點的軌道是正圓，它的圓心始終以波速  $c$  向著波浪傳播方向移動的話，那末在所取計時起點之後的某一刻  $t$ ，軌道中心  $O$  就會位於離坐標原點  $x$  之外，此時，顯然  $x = ct$ 。

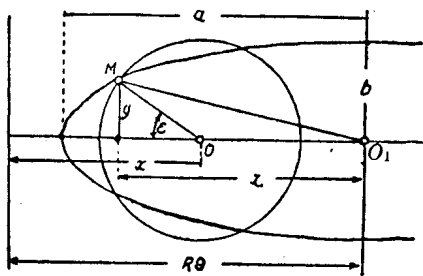


圖 3

假定在上面所說的這一刻，軌道半徑  $OM$  位於圖 3 所示的位置，也就是說它與  $X$  軸構成  $\varepsilon$  角的話，那末這個半徑的長度總是等於  $\frac{h}{2}$ 。當我們從形式方面來描寫質點  $M$  的運動時，我們可以重新採用公式(1)。

在這種情況下，必須根據運動學的條件（公式 1）而求出水質點  $M$  將沿以運動的一個橢圓，這個橢圓的半軸為  $a$  和  $b$ ，它的中心則為  $O_1$ 。顯然，此時  $b = \frac{h}{2}$ 。因而輔助橢圓的短軸  $b$  必須等於質點的實際軌道半徑  $OM$ 。

我們如以  $x_1$  表示輔助橢圓的半徑向量  $O_1M$  在橫軸上的投影，並以  $y$  表示點  $M$  在垂直方向上與橫軸的距離，那就可以寫出下式：

$$x_1 = a \sin \theta; \quad y = b \cos \theta. \quad (5)$$

另一方面，根據方程式(1)，自  $O_1$  至坐標原點的距離等於  $R\theta$ 。此外，根據圖(3)有

\* 在這裡我們也考慮到在具有速度勢的波動過程中，水體的搬運情況——作者原註。

$$\sin \varepsilon = \frac{y}{b}. \quad (6)$$

这就是說，如按照方程系(5)的第二式，則

$$\sin \varepsilon = \cos \theta, \quad \varepsilon = \frac{\pi}{2} - \theta. \quad (7)$$

考慮到這些簡單的關係式以後，我們就可以用下式表示實際圓形軌道的中心  $O$  的  $x$  坐標：

$$ct = x = R\theta - (x_1 - b \cos \varepsilon) = R\theta - (a \sin \theta - b \sin \theta), \quad (8)$$

$$ct = R\theta - (a - b) \sin \theta.$$

如以  $R$  來除(8)式的兩邊，並考慮  $\frac{c}{R} = \frac{2\pi}{T} = \bar{\omega}$  (在這公式中  $\bar{\omega}$  表示質點沿圓形軌道運動時在一週期  $T$  內的某一平均角速度)，那末我們又可寫出下式：

$$\theta - \frac{a - b}{R} \sin \theta = \bar{\omega} t. \quad (9)$$

由此就可以算出質點  $M$  沿圓形軌道運動時的真實角速度，即

$$\omega = \frac{d\theta}{dt} = \bar{\omega} / (1 - \frac{a - b}{R} \cos \theta). \quad (10)$$

可見， $\omega$  隨着相角  $\theta$  而變化，變動在平均值  $\bar{\omega}$  的兩邊。當  $\theta = 0$  時 (波頂)， $\omega$  為最大； $\theta = \pi$  時 (波谷)， $\omega$  為最小。

根據公式(10)，很容易算出最大角速度超過最小角速度的倍數，即：

$$\frac{\omega_{\max}}{\omega_{\min}} = \frac{1 + \frac{a - b}{R}}{1 - \frac{a - b}{R}}. \quad (11)$$

由此可見，風浪波頂的尖銳形狀以及波底的平坦形狀是由於海水質點沿着軌道運動時的角速度不恆定所引起的。水池上的直

接測量証實了这个結論。作為上述的例証，我們指出：在風浪情況下，比值  $\frac{\omega_{\max}}{\omega_{\min}}$  有時可超過 2.5，反之，一俟風的作用停止後，這比值就迅速地降低到 1.5 以下。

(1953 年 9 月 15 日完稿於蘇聯科學院海洋水文物理研究所)

(譯自“蘇聯科學院報告”，1953 年 93 卷 2 期)

## 波頂尖銳的物理原因

去年我們作了解釋風浪波頂呈尖形的初次嘗試(請參看參考文獻 1)。在該論文中我們無形中承認了漂流速度在  $X$  軸範圍內及在時間上是恆定的。在這種假定之下,為了滿足形式的條件(2),就必須把質點的轉動角速度  $\omega$  看作是一個隨著時間而在平均值  $\frac{2\pi}{T}$  附近變化著的速度(在波頂上,這一速度有最大值,在波谷上這一速度有最小值)。這個結論,雖然與水池上波浪運動的表面圖景並不矛盾,然而當我們進一步研究波浪的風能供給問題(請參看參考文獻 2)以及波長的增加問題(見參考文獻 3)時,就顯示出這個結論是不適切的,因為勢能和動量矩的條件與  $\omega$  在一個週期  $T$  內的變動並不相符。另一方面,當  $\frac{h}{\lambda}$  的值很大時,即使沒有風的作用,波浪也能取得與擺線不同的形式。

這就意味着,必須尋求另一種圖案,使由具有  $a, b$  半軸的輔助橢圓(見參考文獻 1)轉到實際的軌道:對表面質點來說,這軌道是半徑  $r_0$  等於  $b$  的一個圓周。雖然,我們現在給出了新的條件

$$\omega = \bar{\omega} = \frac{2\pi}{T} = \text{const.},$$

但是參考文獻 1 第 3 圖上無可反駁的幾何關係,仍然是有效的。

為了得到前面所述的風浪的典型輪廓,現在必須把漂流速度看作是不恆定的,是在波長範圍內變動著的。實際上,我們可以設想,與波浪同時存在着的流速,是由常量  $u_0$  與在  $\lambda$  範圍內變動著的變量  $u$  合成的。轉動角度  $\theta$  的值應當從  $Y$  軸下方算起。在這種情形下,上述(參考文獻 1)論文中的方程式(8)必須代之以另一方程式:

$$\int_0^t (c + u_0 + u) dt = R\theta + (a - b) \sin \theta; \quad (1)$$

將上式對時間  $t$  微分，得：

$$(c + u_0) + u = R \frac{d\theta}{dt} + (a - b) \cos \theta \frac{d\theta}{dt}. \quad (2)$$

式中， $R$  仍表示滾動圓的半徑，它與波長的關係為： $R = \frac{\lambda}{2\pi}$ 。量  $\frac{d\theta}{dt} = \omega$ ，在新的圖案中為常量。此外，容易看出：

$$c + u_0 = R\omega. \quad (3)$$

由此，得到：

$$u = \omega(a - b) \cos \theta. \quad (4)$$

這樣看來，前面所述的風浪輪廓可以發生於  $\omega$  為常量而搬運速度為變量的情況下。

現在我們從理論上來闡明搬運速度變化的原因。先來研究最簡單的情況，即無風時傳播的波浪。

我們取一個水平的水層，它的上邊界在平靜的時候，就是海面；而下邊界為海面以下相距很小一段距離  $y$  的一個平面。發生波動時，位於這兩個平面上的質點開始沿着如本文圖 1 中所示的圓周而運動。因此，當質點離開計算原點達  $\theta$  角時，水層的厚度  $y$ ，就變為變量  $\eta$ ，它可以相當近似地表示為：

$$\eta = y - (r_0 - r) \cos \theta = y - r_0(1 - e^{-\frac{y}{R}}) \cos \theta \approx y \left(1 - \frac{r_0}{R} \cos \theta\right). \quad (5)$$

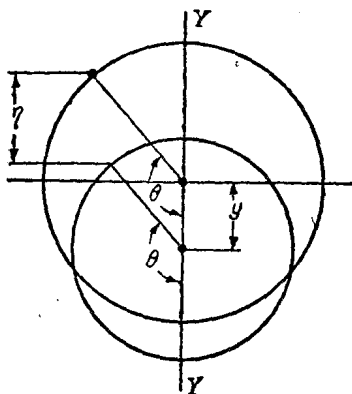


圖 1

正因为这种原因，大家都知道，所取的水層就会在波頂附近变厚，而在波谷附近变薄。

我們如沿着波浪傳播方向截取一个單位寬度的長条。那么，当轨道运动的角速度为  $\omega$  时，在横断面为  $1 \times \eta$  的“單位渠道”中流过的流量  $\phi$  应为：

$$\phi = \omega r_0 y \left( 1 - \frac{r_0}{R} \cos \theta \right). \quad (6)$$

当  $\theta$  从  $\pi$  变到  $2\pi$  时，兩边界之間的質点数將不断地減少。所以按照連續性条件，一部分海水就不得不从沿轨道的圓周运动轉变为朝向波浪傳播方向的前进运动。当  $\theta$  由  $0$  变到  $\pi$  时，海水似乎將要从后面被“吸入”进来而沿着同一个水平方向流去。

如給角  $\theta$  以增量  $d\theta$ ，則  $\phi$  也改变了  $d\phi$ ，这可由方程式(6)的兩邊取微分求得之：

$$d\phi = \omega \frac{r_0^3}{R} y \sin \theta d\theta. \quad (7)$$

以横断面的可变面积  $\eta$  来除  $d\phi$  並改变其符号（因为  $W$  由於  $\phi$  的減小而增加）后，即可由流量  $\Phi$  的变化，引出海水前进速度  $W$  的变化，这变化为：

$$dW = -\omega \frac{r_0^3}{R} \frac{\sin \theta}{1 - \frac{r_0}{R} \cos \theta} d\theta. \quad (8)$$

將(8)式积分，求得速度  $W$  的表达式如下：

$$W = -\omega r_0 \ln \left( 1 - \frac{r_0}{R} \cos \theta \right) + N \approx \omega \frac{r_0^3}{R} \cos \theta + N. \quad (9)$$

將对数展开为級数时，除首項外都略去不計。当  $\frac{r_0}{R}$  的值不过分大时，由於略去其余各項所造成的誤差不会大於 10%。在波頂上，“轨道”流是通过最大横断面前进的，因而前进补偿流在波頂上会暫時停止。

因此，在(9)式中代入特殊值  $\theta = \pi$ ，就可以写出  $-\omega \frac{r_0^3}{R} + N = 0$ 。由此，得到：

$$W = \omega \frac{r_0^3}{R} (1 + \cos \theta). \quad (10)$$

可見，海水前进运动的速度确是在波長範圍內变动着的。根据(10)式，得其平均值为：

$$\bar{W} = \omega \frac{r_0^3}{R} = r_0^3 \left( \frac{2\pi}{\lambda} \right)^2 c. \quad (11)$$

这个量是早在前世紀已為流体动力学者用純形式的方法所确定了的，而直至今天还把它当作常量看待。方程中的  $c$  表示波浪在靜止海水上的位相速度。我們暫時假定前进运动的速度在任何深度均相同；那么，在方程式(3)中可以認為  $u_0 = \omega \frac{r_0^3}{R}$ ，根据(4)及(10)式，可变分量  $u$  就可写成下式：

$$\omega(a-b)\cos \theta = \omega \frac{r_0^3}{R} \cos \theta. \quad (12)$$

(12)式的左边用  $\omega b \cos \theta$  除之，而右边用相等的值  $\omega r_0 \cos \theta$  除之，整理后即得：

$$\frac{a}{b} = 1 + \frac{r_0}{R}. \quad (13)$$

可見，即使沒有風，波浪輪廓也与摆綫不同， $\frac{r_0}{R}$  的比值愈大，差異也愈大。

必須指出：实际上，我們在上面为表面質点所求得的前进运动速度，將会按照軌道半徑的平方減少时所遵循的同样指數定律隨着深度而遞減。由於这个原因，附加在波浪位相速度  $c$  上的搬运速度应小於(10)式所表示之值。大家知道有限振幅波的速度与無限小振幅波的位相速度不同，而其差数正好等於(11)式中  $\bar{W}$  之半。所以可以适当地預料到，在搬运速度的普遍表达式(10)中將有一

个为  $\frac{1}{2}$  的修正因子。但是这个修正因子的值，实际上并不会影响波浪轮廓的形状，因此也可以假定它等於某一个真分数  $\beta$ 。那么，加在波浪位相速度上的搬运速度將為  $\beta W$ ，这里的  $W$  如(10)式所示。同时將产生剩余速度  $(1 - \beta)W$ ，这一速度在波頂上將与轨道速度  $\omega r_0$  算术地相加，而在波谷上与轨道速度算术地相減。結果就产生了混合性的問題：即搬运速度也会随時間而变化（按照我們的第二个圖案），而轨道运动的速度似乎同样也将發生变化（类似於我們的第一个圖案）。不難証明，解决这种复杂的問題是沒有必要的，只要当我们將(10)式中  $W$  的全值引入运动学条件中时，考慮到这两种現象就可以了。

根据(10)式及關於角速度  $\omega$  为常量的概念来描繪所謂“極陡”波浪的輪廓时，將会証实这种做法是合理的。本文不拟引証这些，只准备按照(13)式引入上述論文（見参考文献 1）中  $\frac{r_0}{R}$  的數字值来近似地計算  $\frac{a}{b}$  的值。相當於  $\frac{h}{\lambda} = 0.143$ ，我們可以假設  $\frac{r_0}{R} = 0.45$ ；那么，按照(13)式，即得  $\frac{a}{b} = 1.45$ 。同时，在上述論文中，我們也曾求得与陡度为最大的理論輪廓相接近的波浪的  $\frac{a}{b} = 1.56$ 。这两个数值相差只有 7%。

現在我們來研究与漂流的存在有密切关系的風浪輪廓。我們用  $\bar{u}$  表示漂流速度在一个波長範圍內的平均值。与过去已建立的概念相反，漂流的瞬时速度  $u$  將变动在  $\bar{u}$  附近，並按連續性条件有：

$$u\eta = \bar{u}y.$$

将(5)式中  $\eta$  的表达式代入(14)式，即得：

$$u = \frac{\bar{u}}{1 - \frac{r_0}{R} \cos \theta}. \quad (15)$$